

توزيع پذیری غیر خطی سیلیس، روش نوینی برای شناسائی الگوی ناحیه بندی بافتی در اندیس های طلادار استان آذربایجان شرقی

سید رضا مهرنیا

گروه زمین شناسی، دانشگاه پیام نور استان قزوین، ایران

*مسئول مکاتبات-آدرس الکترونیکی: r_mehrnaya@pnu.ac.ir

(دریافت: ۸۸/۶/۸؛ پذیرش: ۸۸/۱۱/۲۸)

چکیده

پیشینه مطالعات ژئوترمومتری-میکروترموتری چهارگوشه ۱/۵۰۰۰۰ میانه واقع در استان آذربایجان شرقی، بیانگر حضور مagmaتیسم تاخیری سنوزوئیک با رخساره غالب سریسیت آدولاریائی در واحدهای پیروکلاستیکی و توف های ریولیتی پالثوزن است که به دلیل توسعه و تنوع رخمنون های دگرسانی، شرایط پیدایش رگه های کوارتز پیریتی به عنوان میزان ذخایر طلای اپی ترمال در نئوزن فراهم گردیده و شواهد بدست آمده از تغییرات بافتی واحدهای مینرالیزه، نظیر آنچه که در الگوی ناحیه بندی بافتی ذخایر کوئینزلند مشاهده می شود، دارابط مکانی با توزیع ژئوشیمیائی سیلیس است. لذا بر اساس نتایج این تحقیق، در روشی نوین مبتنی بر اصول هندسه فرکتال، توزیع پذیری سیلیس توسط توابع غیرخطی ارزیابی گردیده و تغییرات بافتی رگه مینرالیزه، به منظور پیش داوری در اندیس های طلا دار غرب شهرستان میانه و در مطابقت با الگوی ناحیه بندی بافتی سامانه های اپی ترمال مطالعه شده است. در عمل پس از دستیابی به سازوکار توزیع غیرخطی سیلیس، تابع نمائی در مختصات لگاریتمی بیان و مولفه های متناظر با تغییرات بافتی رگه ها به دقت بررسی گردیده اند. بدین ترتیب با ارزیابی روند تحولات بافتی و مقایسه آن با الگوی ناحیه بندی بافتی ذخایر اپی ترمال، ملاک جدیدی برای پی جوئی طلا در مناطق امید بخش آقرون، سیه کمر و شیخ دره به ترتیب اولویت اکتشافی آنها معرفی شده است.

واژه های کلیدی: اکتشاف طلا، توزیع غیرخطی، رگه کوارتزی، سامانه اپی ترمال، فرکتال.

پیریت، آرسنوبیریت، کالکوبیریت و ندرتاً گالن است. (مهرنیا ۱۳۸۳).

همچنین آثار معدنی طلا واقع در چهارگوشه میانه بصورت نواحی سه گانه آقرون، سیه کمر و شیخ دره تفکیک گردیده که حدود جغرافیائی آنها به همراه مکان هندسی رخمنون های مینرالیزه مطابق شکل ۳ می باشد. واحد مینرالیزه در این اندیس ها شامل رگه ها و رگچه هایی با ترکیب کوارتز-پیریت و کربنات است که معمولاً توسط هاله رسی (آرژیلیک) و افق های خاکی منسوب به کواترنر پوشیده شده اند. در شکل ۳، همچین دورنمایی از مناطق دگرسانی آقرون شامل مجموعه ای از واحدهای رسی و پروپیلیتیک به همراه رگه های کوارتز پیریتی حاوی طلا در دو مقیاس ماکروسکوپی و میکروسکوپی نشان داده شده است. متوسط عیار طلای رگه ها ۶-۶۰۰ میلیگرم در تن بوده و شواهد ایزوتوپی اکسیژن به همراه میکروترموتری میانبارهای سیال (موجود در کوارتز) موید حضور رخساره سریسیت-آدولاریائی است (مهرنیا ۱۳۸۳).

از دیدگاه نظری، ویژگی یک رگه اپی ترمال، برخورداری از الگوی ناحیه بندی بافتی، به عنوان معیاری برای تجمع عناصر تیپومرفیک

مقدمه

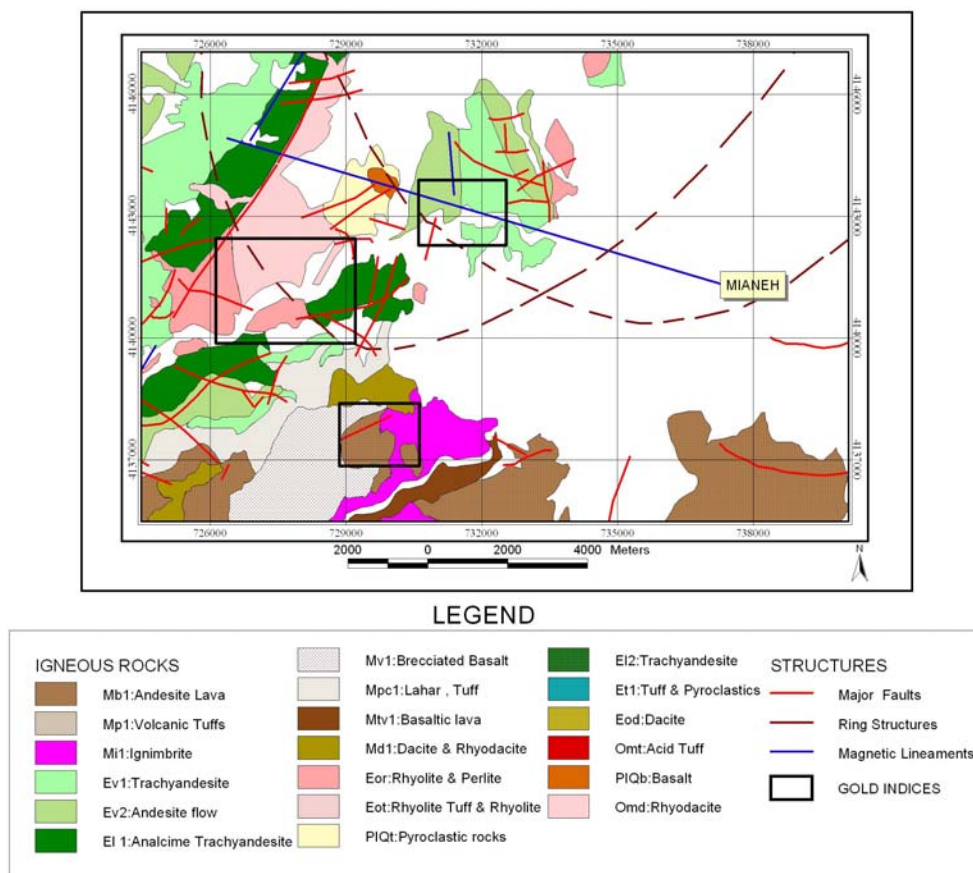
منطقه مورد نظر بخشی از گستره زمین شناختی شمال غرب ایران با مختصات مندرج در شکل ۱ می باشد که پس از مطالعات صحرائی و رده بندی سری مagmaتی منسوب به سنوزوئیک (Lescuyer 1978) به عنوان چهارگوشه زمین شناسی میانه (سریال NJ3812) واقع در استان آذربایجان شرقی معرفی گردیده است. پدیده های زمین ساختی این ناحیه منسوب به فعالیت های کوهزائی جوان (پالثوزن- نئوزن) با ساختمان های تافروژنیک می باشد که به دلیل فراوانی سازند های آذرین متشکل از واحدهای ریولیتی، ریوداسیتی و تراکی آندزیتی، از تفرقی مagmaتی گستردگی با تغییرات منجر به پیدایش سامانه های مagmaتی - گرمابی برخوردار است (Aleaster 2001). در شکل ۲، مناطق دگرسانی بر اساس شواهد بدست آمده از مطالعات دورسنجدی معرفی شده اند، در این شکل، مناطق دگرسانی شامل انواع آرژیلیک (متوسط تا پیشرفت)، پروپیلیتیک (اپیدوت، کلریت، کلسیت) و اکسیدهای آهن بوده و فرآیند کانه زائی در ارتباط نزدیک با رگه های سیلیسی (کوارتز - کربناتی و کوارتز- سریسیتی) و مشخص به حضور

(متشكل از پیریت و آرسنوبیریت طلا دار) و مطابقت آن با توزیع ژئوشیمیائی سیلیس، امکان تشکیل معادله نمائی این توزیع توسط روابط فرکتال فراهم گردیده و متعاقباً الگوی ناحیه بندی وابسته به تغییرات عیار طلا استنتاج گردیده است.

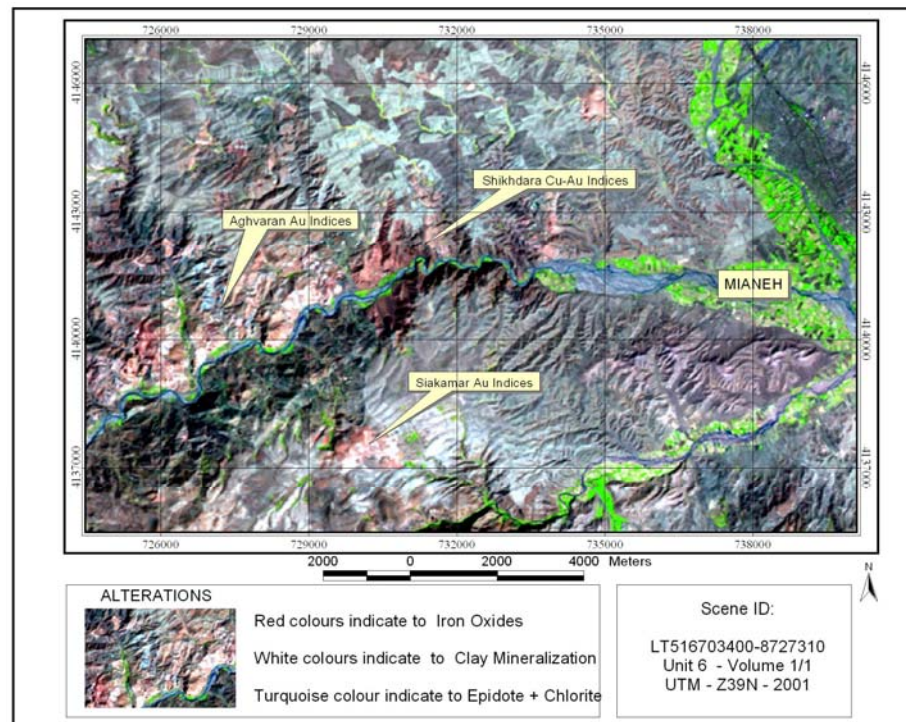
در عمل پس از حفر ترانشه و نمونه برداری از رگه های کوارتز پیریتی واقع در عمق های ۲ ، ۵ ، ۷ و ۱۰ متر، نمونه های میکروسکوپی (۴۰) مقطع نازک و صیقلی) به منظور مطالعات پتروگرافی - مینرالوگرافی تهییه گردیده و بطور هم زمان سنجش کمی طلا و آنالیز دستگاهی ۱۵ نمونه به روش های جذب اتمی و Xray توسط موسسه تحقیقاتی Rafter (نیوزیلند) انجام شده است.

(طلا، نقره، سرب، روی و مس) در واحدها و مراحل مختلف دگرسانی است. از این رو، پیدایش اشکال مختلف سیلیس شامل انواع کلسدون، اپال، آگات، آمتیست، کوارتز کلوفرمی، کوارتز نواری، کوارتز دانه شکری و بلورین به همراه تغییر عیار فلزات در مناطق دگرسانی، نقش مهمی در پی جوئی ذخایر اپی ترمال کوئینزلند داشته است (Morrison *et al.* 2002).

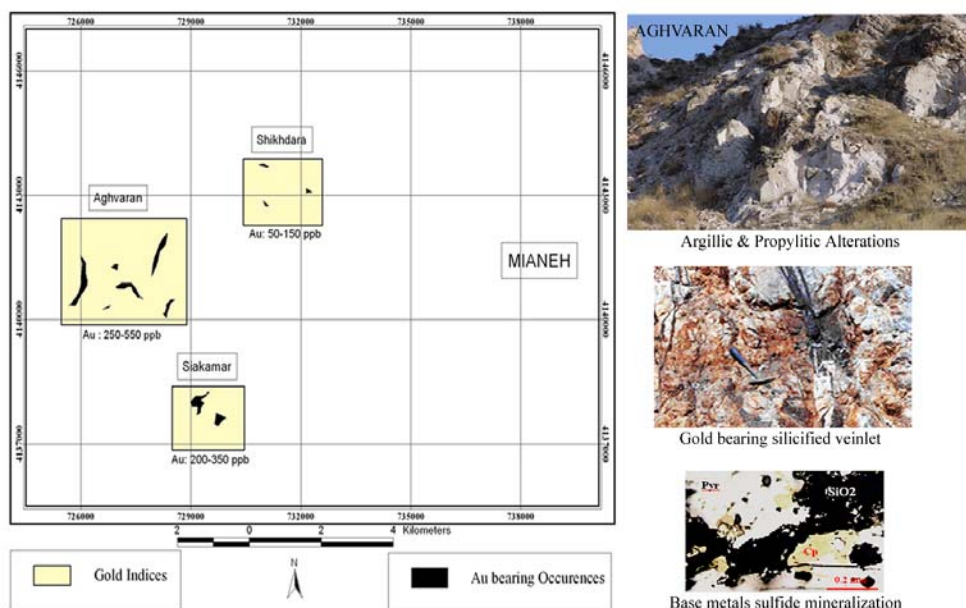
در این تحقیق، ضمن بررسی خصوصیات بافتی سامانه های اپی ترمال و مقایسه آن با آثار معدنی ناحیه مورد مطالعه، شواهدی از ظهور بافت کلوفرمی در رگه های کوارتز پیریتی آفرون بدست آمده که به طور محسوس با افزایش نسبی عیار طلا (بیش از ۳۰۰ میلیگرم در تن) همراه است. بدین ترتیب با استناد بر روند تحولات بافتی رگه مینرالزه



شکل ۱: رخنمون های ماقمائي، پدیده های ساختمناي و آثار معدني طلا در چهارگوشه ميانه (آذربايجان شرقى) تنوع سنگ های آتشفسانی به همراه فعالیت های زمين ساختي منسوب به سنوزوئيك موجب پيدايش هاله های دگرسانی با منشا ماقمائي - گرمابي (هيدروترمال) گردیده و رخنمون های مينراليزه متشكل از تركيبات فلزي پايه و گران بها مشاهده مى گردد (مرجع: سازمان زمين شناسى و اكتشافات معدنى كشور، سريال: NJ3812)



شکل ۲: تفکیک مناطق دگرسانی در چهارگوشه ۱/۵۰۰۰۰ میانه بر اساس تصویر پردازش شده ماهواره لندست ۷ ، سنجنده ETM اనواع دگرسانی (منسوب به فعالیت مagmaئی سنوزوئیک، توسط رنگ های سفید (آرژیلیک)، قرمز (اکسید آهن) و فیروزه ای (پروپیلیتیک) و با استفاده از الگوریتم تحلیل مولفه های اصلی شناسائی شده اند. همچنین به منظور بهینه سازی کیفیت تصویر و تفکیک مرز لایه های زمین شناسی از واحد های دگرسانی، فیلتر بالا گذر IHS تحت سامانه نرم افزاری ENVI اعمال گردیده است.



شکل ۳ - موقعیت مکانی و تعداد رخنمون های مینرالیزه در اندیس های طلدار چهارگوشه میانه نواحی امید بخش نظری آنچه که در اندیس طلای آقردن مشاهده می شود، شامل مناطق وسیع دگرسانی (آرژیلیک-پروپیلیتیک) به همراه رگه ها و رگچه های سیلیسی با رخساره غالب کوارتز پیریت و کوارتز سریسیتی است که بر اساس شواهد میکروسکوپی و آنالیزهای دستگاهی ، دارای ترکیبات فلزی پایه و مقادیر جزئی طلا هستند

بافت موجود در رگه های سیلیسی چهارگوشه میانه شامل پیدایش انواع شیشه (تصورت پرکننده فضای خالی رگه)، تجمع ریز بلورهای کوارتز کلسونی با درجه تبلور ضعیف (میکروکریستالین) و پیدایش کوارتز بلورین با بافت قلوه ای شکل (کلوفرم) است که معمولاً در امتداد ریز شکستگی ها و بصورت پرکننده فضای خالی یا جانشینی در رگه مشاهده گردیده و مقدار طلای آن با توجه به افزایش نسبی کانه های سولفیدی آهن، مس و سرب افزایش یافته است (مهرنیا ۱۳۸۳). از این رو عیار طلای موجود در رگه های مورد مطالعه به ویژه در رخمنون های مینرالیزه آقرون و سیه کمر (شکل ۳) با درجه تبلور سیلیس آنها ارتباط مستقیم دارد؛ به طوری که در انواع کلسونی (با بافت غالب شیشه) کمتر از ۱۰۰ میلیگرم در تن و در کوارتز ریز بلور بین ۱۰۰ تا ۱۵۰ میلیگرم در تن و در رگه کوارتز کلوفرمی بیش از ۳۰۰ میلیگرم در تن است (مهرنیا ۱۳۸۳).

تحلیل میانبارهای سیال اولیه و بررسی رفتار ایزوتوپ اکسیژن در نمونه های بدست آمده از رگه سیلیسی آقرون، موید شرایط محیطی حاکم بر سامانه اپی ترمال با همبودی از کانی های پیریت، آرسنوبیریت، کالکوبیریت و گالن است (مهرنیا ۱۳۸۳). همچنین نتیجه مطالعات به عمل آمده با میکروسکوپ الکترونی (دانشگاه تربیت مدرس، ۱۳۸۱) و بیانگر ارتباط زایشی طلا با ترکیبات سولفیدی (پیریت) و سولفوآرسنیدی (آرسنوبیریت) آهن می باشد که در زمینه ای از کانی های سیلیس (بویژه کوارتز آلفا)، رس و کربنات کلسیم قرار گرفته اند. عیار متوسط طلا در رگه های بارور ۵۰۰ میلی گرم در تن بوده و اغلب در مجاورت سنگ های ریوداسیتی با توف های پیروکلاستیکی ائوسن قرار دارند. واحدهای سیلیسی- مینرالیزه (با بافت شیشه ای، نیمه متبلور یا تمام بلورین) توسط هاله ای از دگرسانی آرژیلیک (نوع متسط) و پروپیلیتیک (با کلسیت فراوان) احاطه گردیده و امتداد ساختمانی آنها به موازات گسل های شمالشرقی- جنوبغربی و ندرتا موازی با گسل های شرقی- غربی است.

معرفی الگوی ناحیه بندي بافتی در ذخایر اپی ترمال کوئینزلند
نتایج بدست آمده از تحقیقات موریسون (۲۰۰۲) در قالب پروژه Amira Projects (۲۰۰۱)، اکتشافی سامانه های اپی ترمال کوئینزلند (Amira Projects 2001)، بیانگر ارتباط زایشی طلا با تغییرات بافتی کوارتز است که به موجب آن رده بندي خاصی با هدف ارزیابی تحولات بافتی در مناطق امیدبخش معدنی (رگه طلدار) پیشنهاد شده است (Morrison *et al.* 2002).

در جدول ۱، ناحیه بندي بافتی ذخایر کوئینزلند با اولویت تحولات بافتی سیلیس در دو نوع اولیه و ثانویه بر حسب تغییرات عیار فلزات پایه و گران بها درج گردیده است. چنانچه مشاهده می گردد، در یک ناحیه بندي مناسب با روند غنی شدگی موثر، حضور کوارتز کلوفرمی به همراه کانی آدولاریا (با بافت خزه ای)، برای شکل گیری ذخیره

زمین شناسی عمومی ناحیه مورد مطالعه

چهارگوشه میانه با مختصات ۴۱۴۶۸۰۰-۷۲۴۵۰۰-۷۴۰۰۰-۴۱۳۵۷۰۰- شمالی (شکل ۱)، شامل رخمنون های آذرین با ترکیب بازیک، حد واسط تا اسیدی بوده که بر اساس مطالعات لسویه (Lescuyer 1978) با سری های ماقمائي آلکالن در ارتباط می باشند. حرکات کوه زائی سنوزوئیک میانی، موجب پیدایش ساختمان- های هورست و گرابنی شکل گردیده که در اغلب مقاطع با ماقماتیسم تاخیری منسوب به رخساره های قاره ای پالئوژن همراه است (Lescuyer 1978). فعالیت های تکتونوماقمائي این دوره، موجب تفرقی گسترده رخساره های ماقمائي از قطب ریولیت تا پیدایش سنگ های تراکی آندزیت و گدازه های بازالتی گردیده و در آغاز نئوژن، رخساره غالب، شامل توده های نفوذی با ترکیب گابرو، گرانیت و گرانیتیوئید است.

نظم ساختمانی خاصی در واحدهای ماقمائي منطقه مشاهده می گردد بطوریکه اکثر سازندهای پیروکلاستیکی و مخروط های آتشفسانی با ترکیب ریولیت- ریوداسیتی در امتداد گسل های شمال غربی- جنوب شرقی (روند آناطولی) یا ساختمان قرینه آن قرار گرفته اند (شکل ۱). مناطق دگرسانی با الگوی زمین ساختی منطقه ارتباط نزدیک داشته و بطور مشخص در زون خرد شده ناشی از برخورد صفحات گسلی مشاهده می گردد (شکل ۲). رژیم تافروژنیک منطقه، به عنوان الگوی ساختمانی متأثر از حرکات کششی (Extensional) سنوزوئیک، عامل پیدایش فعالیت های ماقمائي- گرمابی (Hydrothermal) در واحدهای آتشفسانی و توده های نفوذی منطقه بوده و تعامل پدیده های زمین شناسی با عوامل زمین ساختی، چشم انداز مناسبی را برای پی جوئی ذخایر طلا با منشاء اپی ترمال بوجود آورده است.

سابقه اکتشاف طلا در نواحی امید بخش میانه

خاستگاه مناطق مینرالیزه در غرب شهرستان میانه، در ارتباط با واحدهای ماقمائي پالئوژن و پدیده های دگرسانی بعد از آن بوده و استنتاج الگوی زایشی طلا (به ویژه در اندیس های آقرون و سیه کمر)، مبتنی بر مطالعه میانبارهای سیال و ژئوترمومتری ایزوتوپ اکسیژن است؛ که پس از درج ملاحظات کانه شناختی، سازوکار پیدایش واحدهای مینرالیزه با استفاده از توابع عضویت فازی (Fuzzy Memberships) و در ارتباط با حضور رخساره آدولاریائی (در محیط اپی ترمال) تعیین شده است (مهرنیا ۱۳۸۳).

بنابراین پیدایش رگه های سیلیسی در هاله محاطی پروپیلیتیک و آرژیلیک، مهمترین رویداد پسا ماقمائي در اندیس های طلدار چهار گوشه میانه است که اغلب آنها با سنگهای ریوداسیتی (آقرون و سیه کمر) و تراکی آندزیتی (شيخ دره) جوانتر از ائوسن مشاهده می گردد.

معمولاً نوسان عیار طلا در رگه کلسدونی (رخنمون ذخیره)، بین ۱۰۰ تا ۳۵۰ میلیگرم در تن است که با مشاهده این تغییرات، احتمال دستیابی به مناطق پر عیار عمقی افزایش می‌یابد. بنابراین چنانچه در الگوی ناحیه بندی بافتی یک سامانه، فرآیند شکل‌گیری رگه‌ها با پیدایش کلسدون آغاز و با تبلور کوارتز کلوفرمی در رخساره سریسیت آدولاریائی ادامه یابد، احتمال غنی شدگی اولیه (هیپوژنیک) فلزات گرانبها بویژه در مجاورت سولفوارسنیدهای آهن افزایش می‌یابد (Morrison *et al.* 2002).

احتمالی طلا در امتداد محور طولی سامانه اپی ترمال ضروری است (Guoyi 2001). وفور کلسدونی در سطح فرسایش رخنمون‌های مینرالیزه، شانه خوبی است که با فرض منظم بودن توالی‌های بافتی، احتمال تبلور کوارتز کلوفرمی بعنوان بافت درونگیر طلا (منطبق بر عمق جوشش سیال کانه دار) افزایش یافته و با ادامه تحولات بافتی (پائین تراز ناحیه جوشش سیال)، شاهد پیدایش کوارتز دانه شکری با بافت شانه‌ای خواهیم بود که در مطالعات موردنی کوئینزلند، با کاهش عیار طلا و تمرکز قابل توجه فلزات پایه (مس و روی) همراه بوده است (Guoyi 2001).

جدول ۱- الگوی ناحیه بندی بافتی سیلیس در ذخایر طلای اپی ترمال (نقل از موریسون، ۲۰۰۲) الگوی ناحیه بندی منجر به غنی شدگی اولیه طلا با پیدایش رخساره کوارتز کلوفرمی و ظهور کانی آدولاریا با بافت خزه‌ای همراه بوده و منطبق بر مکان تجمع ترکیبات سولفیدی در ناحیه جوشش سیال کانه دار است.

زن اصلی	کلسدونی	کروستیفرم - کلوفرم	بلورین
زن فرعی	کربنات (هوازده)	کلسدونی - کوارتزی	کوارتز - کربناتی
بافت اولیه	نواری (در بالا)	کلوفرم - نواری	دانه شکری - متبلور
بافت ثانویه	بندرت تیغه‌ای	تبلور دوباره (خزه‌ای)	متغیر
کانی همراه	جرت و اکسید آهن	آدولاریا، سولفید و کربنات	کلسیت بلورین
عيار طلا	آمینیست	آدولاریا و سولفید فلزی	ناجیز
عيار فلزات پایه	کم	زیاد	متوسط تا کم
ناجیز	ناجیز	ناجیز	متغیر

غلظت $A(\text{SiO}_2)$ و شاخص نمائی β می‌باشد که با تبدیل لگاریتمی کمیت‌ها در رابطه ۲، الگوی خطی (A-C) (A-C) مطابق شکل ۴ حاصل می‌گردد (مهرنیا ۱۳۸۶).

$$A(\text{SiO}_2) \propto C(\text{SiO}_2)^{-\beta} \quad (1)$$

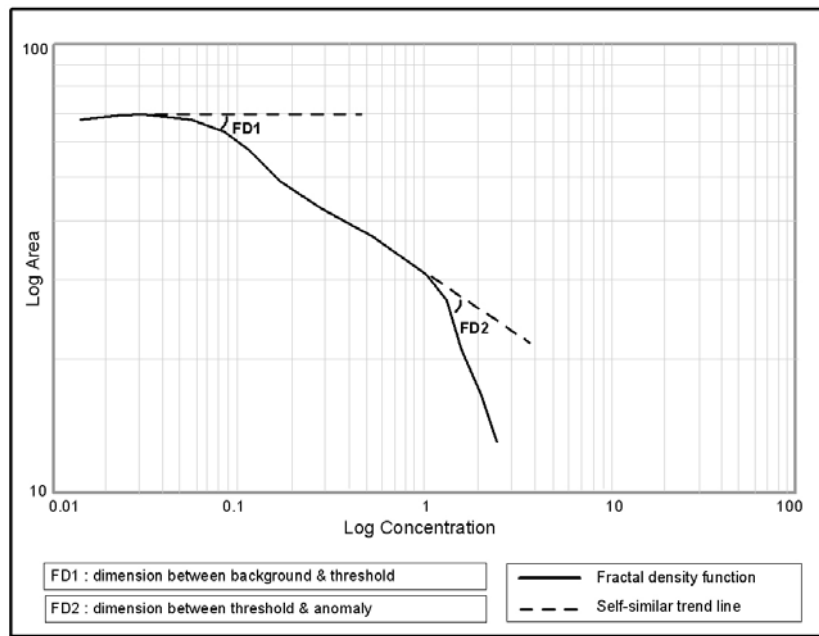
$$\text{Log} A(\text{SiO}_2) = \beta \text{Log} C(\text{SiO}_2) \quad (2)$$

در این شکل، رابطه بین غلظت و سطح محصور متناسب با تغییرات غلظت از نوع نمائی بوده و در مختصات لگاریتمی به معادله خط با ضریب زاویه β تبدیل می‌شود. مولفه‌های خود تشابه (Self similar) نقاط هم استقامتی هستند که پس از ظهور کمیت‌های حدی (عطف تابع)، موجب افزایش یا کاهش ضریب β شده و خاصیت خودتمایلی (Self affine)، باعث تفیک جوامع فرکتال به زیرگروه‌های زمینه‌ای، آستانه‌ای و بی‌نهجاري می‌گردد.

روش مطالعه

روش عملی تحقیق، با تشکیل پایگاه اطلاعات مکانی در سامانه نرم افزاری ArcGIS آغاز گردیده و با درج سوابق اکتشافی طلا جهت پیش‌داوری و نمونه برداری سیستماتیک از مناطق امید بخش (شکل ۳) ادامه یافته است.

توزیع غیرخطی سیلیس در سامانه اپی ترمال پیدایش سیلیس (متبلور یا بی‌شکل) در واحدهای سطحی تا نیمه عمیق یک سامانه اپی ترمال، ناشی از شستشوی اسیدی محلول‌های گرمابی و اشباع شدن تا خیری سیالات مهاجر از ترکیبات حاوی سیلیس با فرمول عمومی SiO_2 می‌باشد؛ که به دلیل تغییر مولفه‌های ترمودینامیکی (فشار و حرارت)، امکان پیدایش اشکال مختلف سیلیس در امتداد ساختمان‌های گسلی (رگه‌ها) فراهم می‌گردد. در اغلب موارد، بین توزیع ژئوشیمیائی سیلیس و تحولات بافتی رگه‌های مینرالیزه همبستگی معنی داری مشاهده نمی‌گردد. اما با استفاده از خواص توزیع پذیری ذاتی (Initial Condition) و جایگزینی معادله خط رگرسیون توسط توابع غیر خطی، امکان محاسبه ضرایب همبستگی و تحلیل توزیع پذیری غیر خطی سیلیس توسط روابط نسبی - نمائی (Power law relationships) فراهم شده و متعاقباً ناحیه بندی بافتی رگه مینرالیزه توسط معادله خط فرکتال ارزیابی می‌گردد (مهرنیا ۱۳۸۶). بنابراین سنجش کمی سیلیس در هاله دگرسانی ذخایر اپی ترمال، رهیافت نوینی است که بطور غیرمستقیم امکان ارزیابی مناطق مینرالیزه و تحولات بافتی آن را بر اساس تغییرات بعد فرکتال فراهم می‌نماید. مطابق رابطه ۱، توزیع نسبی - نمائی سیلیس، دارای سه مولفه غلظت $C(\text{SiO}_2)$ ، سطح محصور متناسب با تغییرات



شکل ۴: رسمتابع فرکتال در الگوی لگاریتمی Area - Concentration (نقل از مندلبروت، ۲۰۰۲) در این الگو: توزیع کمیت موردنظر (Concentration) دارای رابطه نمائی با سطوح درون یابی شده از همان توزیع (Area) بوده و در مختصات لگاریتمی به صورت توابع چند فرکتالی مشاهده می‌گردد. مقادیر FD1 و FD2 به ترتیب دیمانسیون فرکتال بین جوامع زمینه - آستانه‌ای و آستانه - بی هنجاری هستند که به دلیل برخورد از خواص خود تشابهی نقاط هم استقامت به قابلیت تفکیک پذیری تابع چگالی (Density Function) را فراهم می‌نمایند.

احتمال توزیع پذیری سیلیس توسط معادله لگاریتمی A-C (رابطه ۲) بررسی گردیده، که پس از تفکیک اجزاء متضاظر، خاصیت خود تشابهی هر جامعه با استفاده از تحلیلگر مکانی SA بازبینی و مطابق شکل ۶ ارائه شده است. بر روی شکل های ۵ و ۶، علاوه بر الگوی پراکندگی سیلیس، تغییرات عیار طلا بعنوان مولفه توپولوژیکی (Topological parameter) متأثر از مکان هندسی گرادیان های ژئوشیمیائی (Geochemical gradients)، درج گردیده است. در مقام مقایسه، همبستگی مکانی طلا را با روند توزیع پذیری سیلیس، پس از درج ملاحظات فرکتال بهبود یافته که این امر بازگو کننده تحولات ژئوشیمیائی متناسب با رفتار محیط های آشوبناک (Chaotic environments) در فاز تاخیری ماقمatissem سنوزوئیک می‌باشد. به بیان دیگر، شکل ۵ بازگو کننده نحوه توزیع خطی جزء سیلیکا به عنوان مولفه ژئوشیمیائی مرتبط با دگرسانی سیلیس (شامل کلسدونی، کوارتر کلسدونی و کوارتر بلورین با بافت قلوه ای شکل) بوده و سازوکار تفکیک مکانی رگه ها مستقل از تحولات بافتی آنها و تنها تابعی از تغییرات سیلیس موجود در نمونه ها می‌باشد. لذا به منظور بررسی تحولات بافتی سیلیس و تفکیک آن بر روی نقشه های

نتایج سنجش کمی نمونه ها (Xray و جذب اتمی) با هدف تعیین محتوای سیلیس و بررسی تغییرات عیار فلزات پایه و گران بها (طلاء، مس، آهن، سرب و روی) طبق مندرجات جدول ۲ می‌باشد. در این جدول، موقعیت نمونه های به دست آمده از انديس های آفورن، سیمه کمر و شیخ در قالب مختصات متریک (utm) لحاظ گردیده است. با توجه به روند تغییرات عیار طلا و ارتباط آن با پیدايش توده های آذرین اسیدی تا حد واسط (SiO₂ > 66%)، از شاخص توزیع پذیری سیلیس به عنوان ملاکی برای تشخیص مکان هندسی رگه های مینرالیزه (کوارتر پیریتی حاوی طلا) استفاده گردیده و ضمن بهره گیری از اصول زمین ریاضی (Geometrical methods) الگوی اکتشافی مورد نظر استنتاج شده است.

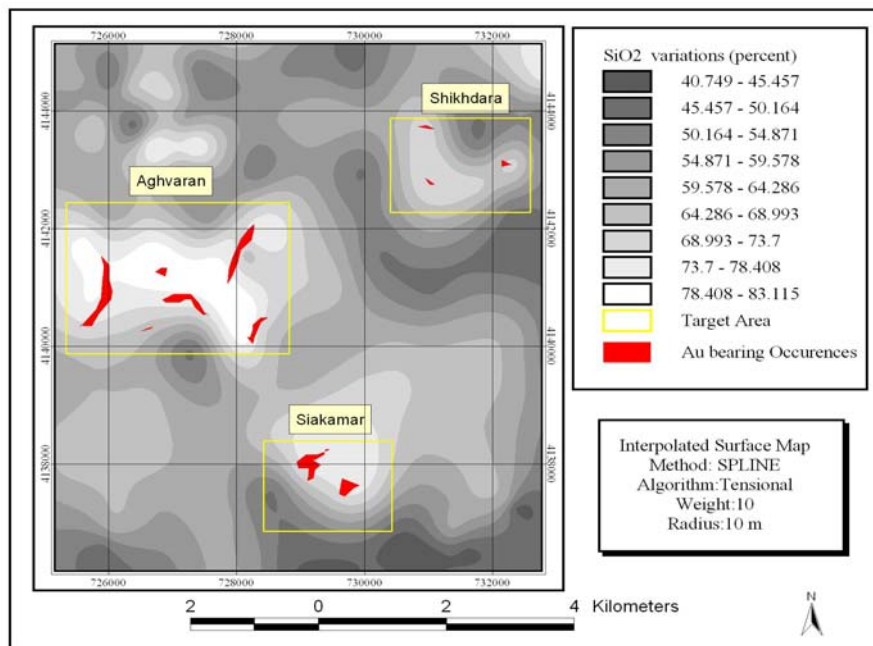
از آنجا که دستیابی به تابع توزیع سیلیس نیازمند اعمال روش های درون یابی به منظور ایجاد همبستگی مکانی بین سلول-های شبکه نمونه برداری است؛ لذا با بهره گیری از الگوریتم آماری موجود در ابزار تحلیلگر مکانی (Spatial Analyst)، توزیع Interpolated ناپیوسته سیلیس، توسط سطوح درون یابی شده (Surfaces) (جایگزین گردیده و تغییرات ژئوشیمیائی آن (با برداشتی پیوسته) مطابق شکل ۵، ترسیم شده است؛ در ادامه،

میکروسکوپی (مقاطع نازک و صیقلی) مطالعه و اهم نتایج آن در جدول ۲ درج گردیده است. اغلب نمونه ها، دارای زمینه شیشه ای تا ریز بلور بوده و حاوی کانی های سیلیس و کربنات می باشند. سه نوع تغییر بافت شامل گونه های کوارتز کلسdone، کوارتز کلوفرمی و کوارتز سوزنی متداول است. همبستگی طلا با رگه های پیریتی آفورن معنی دار بوده و ظهور بافت کلوفرمی در نمونه های بدست آمده از ترانشه های اکتشافی این منطقه (عمق تقریبی ۵ متر با عیار متوسط ۵۰۰ میلیگرم در تن) قابل توجه می باشد.

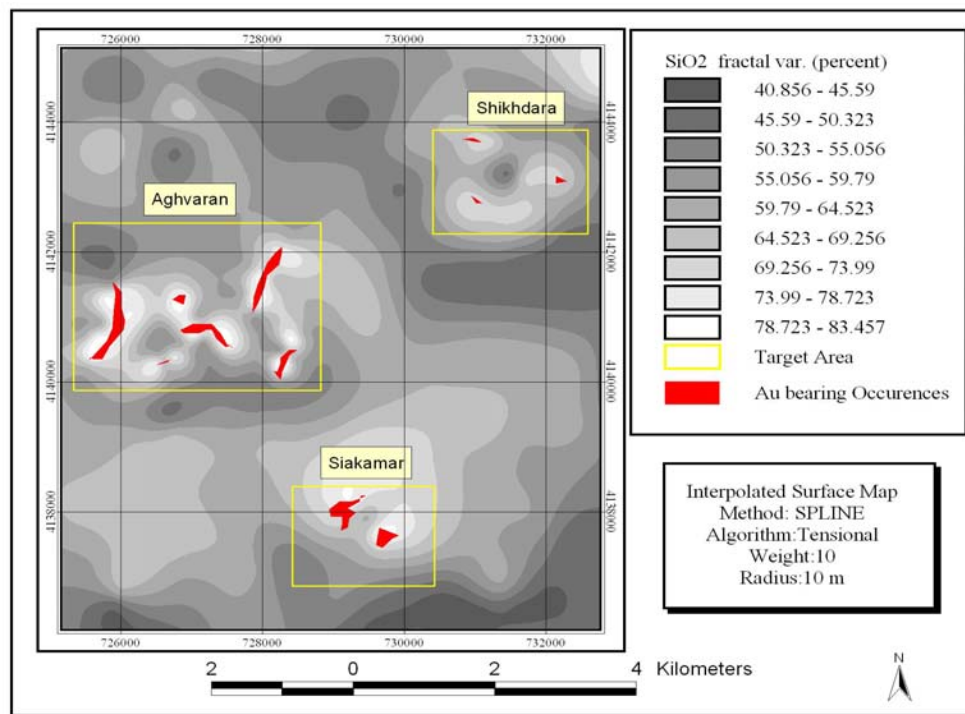
موضوعی، از معادله A-C برای دستیابی به الگوی توزیع غیرخطی سیلیس استفاده گردیده که طی آن، تغییرات سیلیس در قالب روابط نمائی بازبینی و نتایج آن پس از درون یابی با روش های زمین آماری (نظیر کریجینگ) مطابق شکل ۶ ارائه شده است. بی هنجاری های حاصل از توزیع فرکتالی سیلیس، بیانگر تحولات بافتی رگه ها و ارتباط مکانی این پدیده با افزایش عیار طلا در رخساره کوارتز کلوفرمی است که در مقایسه با روش های خطی، نقشه پیش داوری مناسبی را برای پی جوئی مناطق امید بخش در عمق واحدهای دگرسانی پیش رو نهاده است. همزمان با سنجش مکانی مولفه های رئوشیمیائی، تحولات بافتی نمونه ها توسط روش های

جدول ۲: نتایج سنجش کمی فلزات پایه و گرانبها به همراه روند تحولات بافتی و دگرسانی در نمونه های بدست آمده از مناطق مینرالیزه واقع در چهارگوشه ۱/۵۰۰۰۰ میانه (مرجع آنالیزهای دستگاهی: موسسه تحقیقاتی Rafter، نیوزیلند)

نامه	کد نمونه	مشخصات نمونه		سنجه کمی عناصر				مشخصات رگه میزان					
		(UTM)	محضات	Au	Cu	Pb	Zn	نوع دگرسانی			تغییرات بافتی		
		Easting	Northing	(ppb)	(ppm)			پیش	پیش	پیش	نیمه	نیمه	نیمه
شیشه	۰۰۵-۸۶	۷۳۱۵۴۵	۴۱۴۲۵۲۱	۱۰۰	۹۳۵	۱۰۶	۴۲	□	□	□	□	□	□
	۰۰۹-۸۶	۷۳۱۵۶۷	۴۱۴۲۵۰۶	۱۵۰	۷۴۲	۲۳	۴۳	□	□	□	□	□	□
	۰۱۱-۸۶	۷۳۱۵۶۹	۴۱۴۲۵۳۴	۱۰۰	۱۰۳۰	۱۴۰	۷۸	□	□	□	□	□	□
	۰۱۲-۸۶	۷۳۱۵۷۱	۴۱۴۲۵۴۰	۱۵۰	۹۴۰	۱۶۱	۱۷	□	□	□	□	□	□
	۰۱۶-۸۶	۷۳۱۵۹۶	۴۱۴۲۵۲۲	۱۵۰	۴۳۹	۸۱۷	۷۱	□	□	□	□	□	□
کربن	۰۰۲-۸۶	۷۳۰۴۷۸	۴۱۳۸۱۲۹	۲۵۰	۸۲	۲۱	۸۰	□	□	□	□	□	□
	۰۱۲-۸۶	۷۳۰۵۲۱	۴۱۳۸۱۸۲	۳۰۰	۲۳	۱۰۱	۱۶	□	□	□	□	□	□
	۰۱۹-۸۷	۷۳۰۵۲۲	۴۱۳۸۲۱۹	۲۵۰	۱۲۴	۲۰	۱۴۱	□	□	□	□	□	□
	۰۲۲-۸۷	۷۳۰۵۲۴	۴۱۳۸۲۴۱	۵۰۰	۵۶۷	۴۸۴	۹۳۴	□	□	□	□	□	□
	۰۴۰-۸۷	۷۳۰۴۵۳	۴۱۳۸۰۸۸	۱۵۰	۹۸	۲۷۹	۳	□	□	□	□	□	□
	۰۴۷-۸۷	۷۳۰۴۶۶	۴۱۳۸۱۰۰	۳۵۰	۷۷۲	۴۰	۲۷	□	□	□	□	□	□
آفون	۰۱۲-۸۶	۷۲۷۴۸۸	۴۱۴۱۱۱۳	۳۸۵	۶۳۵	۱۰۶	۴۲	□	□	□	□	□	□
	۰۱۵-۸۶	۷۲۷۴۸۶	۴۱۴۱۰۲۴	۴۰۰	۷۴۳	۲۳	۴۳	□	□	□	□	□	□
	۰۱۹-۸۶	۷۲۷۵۰۰	۴۱۴۱۰۶۳	۲۲۰	۱۶۱	۱۴۰	۷۸	□	□	□	□	□	□
	۰۲۰-۸۶	۷۲۷۵۰۸	۴۱۴۱۰۴۶	۵۰۰	۳۱۵	۱۶۱	۱۷	□	□	□	□	□	□
	۰۳۴-۸۷	۷۲۷۵۵۵	۴۱۴۱۰۰۰	۵۰۰	۴۳۹	۸۱۷	۷۱	□	□	□	□	□	□
	۰۳۵-۸۷	۷۲۷۵۵۷	۴۱۴۱۰۱۱	۵۵۰	۸۲	۲۱	۸۰	□	□	□	□	□	□
	۰۳۸-۸۷	۷۲۷۵۷۹	۴۱۴۱۰۳۳	۶۵۰	۲۳	۱۰۱	۱۶	□	□	□	□	□	□
	۰۳۹-۸۷	۷۲۷۵۸۸	۴۱۴۱۰۳۱	۴۷۰	۱۲۴	۲۰	۱۴۱	□	□	□	□	□	□
	۰۴۳-۸۷	۷۲۷۵۹۱	۴۱۴۱۰۴۸	۶۱۰	۵۶۷	۴۸۴	۹۳۴	□	□	□	□	□	□



شکل ۵: رابطه توزیع ژئوشیمیائی سیلیس با تنوع هاله های دگرسانی در مناطق امید بخش میانه گرادیان سطح درون یابی شده (به روش کریجینگ) منطبق بر مکان هندسی رگه های سیلیسی با عیار طلای بیش از ۱۰۰ میلیگرم در تن است.تابع توزیع سیلیس(SiO₂) از نوع خطی- پیوسته بوده و تفکیک جوامع بی هنجاری مبتنی بر تغییر شاخص های آماری (میانگین و انحراف معیار) صورت گرفته است



شکل ۶ - رابطه توزیع غیرخطی سیلیس با موقعیت رگه های مینرالیزه در اندیس های طلادر چهارگوشه میانه در تابع توزیع سیلیس (SiO₂) ، امکان تفکیک واحد های دگرسانی را بر حسب شاخص تغییرات خود تشابهی سیلیس در رگه های کوارتز پیریتی آقورن و سیه کمر و نیز رخساره کوارتز سریبیتی شیخ دره فراهم نموده است. در مقایسه با توزیع خطی سیلیس (شکل ۵) ، روش فرکتال نتایج مطلوب تری را برای دستیابی به مناطق مینرالیزه و مشاهده تحولات بافتی آن ها پیش رو نهاده است.

بندی بافتی ذخایر اپی ترمال افزایش می یابد (Morrison *et al.* 2002).

ملاحظات فرکتال در توزیع سیلیس

شکل ۱۳، بیانگر توزیع نمائی سیلیس در معادله A-C (رابطه ۲) بوده و بطور جداگانه برای آثار معدنی آقورن (۱۳-الف)، سیه کمر (۱۳-ب) و شیخ دره (۱۳-ج) محاسبه گردیده است. مطابق شکل، تفکیک جوامع بی هنجاری (Anomaly) از حدود آستانه (Threshold) و مقادیر زمینه ای (Background)، مبتنی بر تغییرات بعد فرکتال (Fractal Dimensions) و متناسب با ضرایب خط معادله مذکور در مقیاس لگاریتمی است (Mandelbrot 2005). در جدول ۳، افزایش بعد فرکتالی سیلیس، منطبق بر توزیع مکانی رگه های کوارتز پیریتی با عیار طلای ۲۰۰ تا ۴۵۰ میلیگرم در تن بوده و با ظهور مولفه های خود تشابه، تغییرات بافتی موثر بر روند افزایشی طلا مشاهده می گردد (پیدایش کوارتز کلوفرمی در شکل ۷). در مقام مقایسه، ناحیه بندی بافتی رگه ها در مناطق امید بخش آقورن و سیه کمر از وضعیت مطلوبی برخوردار است. بنابراین توزیع ژئوشیمیائی سیلیس در این مناطق، با تغییرات بعد فرکتال به عنوان مولفه نمائی متناسب با پراکنش های غیرخطی همراه بوده و نقاط عطف تابع چگالی (Density Function)، منطبق بر مکان هندسی کمیت های خودتمایل خواهد بود. به بیان دیگر، کثرت اجزاء متناظر در هر یک از جوامع بی هنجاری، مovid برقراری شرایط مناسب برای پایداری نوع مشخصی از گونه های بافتی است (Turcotte 1997) که با ظهور مولفه های نامتجانس (تغییر شیب خط توسط اجزاء خودتمایل)، احتمال بروز تغییرات بافتی در الگوی ناحیه بندی مترتب بر ذخایر طلای رگه ای افزایش می یابد.

از آنجا که پایداری یک سامانه اپی ترمال، مرهون برقراری تعادل شیمیائی و ترمودینامیکی بین سیال کانه دار و محیط مهاجرت آن می باشد (Hedenquist 1995)، لذا در مراحل نهائی تفرقی های ماقمایی- گرمایی، بررسی تحولات بافتی سیلیس به عنوان معیار ژئوشیمیائی موثر بر رفتار کمپلکس های فلزی (پایداری- عدم پایداری)، حائز اهمیت بوده و تشخیص الگوی تغییرات بافتی با استفاده از تحلیل های ژئوفرکتالی (Geo fractal Analysis)، احتمال دستیابی به ذخایر طلا را در رگه های کوارتز پیریتی آقورن و سیه کمر افزایش می دهد.

در خصوص اندیس شیخ دره، بدلیل تغییر فرآیند دگرسانی، تحول شرایط میزبانی (تراکی آندزیت و آندزیت)، افزایش کانی های کربناتی و کاهش محتوای سیلیس در رگه های مینرالیزه، الگوی ناحیه بندی،

تغییرات بافتی در واحدهای سیلیسی مینرالیزه

بررسی تحولات بافتی سیلیس و ارتباط مکانی آن با افزایش عیار طلا در رگه های کوارتز پیریتی آقورن، سیه کمر و شیخ دره با استفاده از روش های میکروسکوپی (مینرالوگرافی و پتروگرافی) و تحت دو سامانه سور عبوری و انعکاسی مطابق شکل های ۷ تا ۱۲ به عمل آمده است.

در شکل های ۷ و ۸، تغییرات بافتی رگه سیلیسی حاوی پیریت به عنوان واحد مینرالیزه آقورن مشاهده می گردد. عیار طلا در بخش کلسدونی (شکل ۷)، کمتر از ۱۵۰ میلیگرم در تن بوده که با تبلور کوارتز و پیدایش بافت کلوفرم (شکل ۸) به بیش از ۴۰۰ میلیگرم در تن (۳ برابر عیار طلا در کلسدون) افزایش یافته است. میزبان رگه مینرالیزه، واحد ریوداسیتی پالتوژن با رخنمون های سیلیسی - کربناتی در هاله ای از دگرسانی آرژیلیک و پروپیلیتیک می باشد (Aleaster 2001).

شکل های ۹ و ۱۰، تغییرات بافتی رگه مینرالیزه را در ناحیه سیه کمر نشان داده اند. عیار طلا در رگچه حاوی کوارتز ریز دانه (شکل ۹)، حدود ۱۲۵ میلیگرم در تن است که با تبلور کوارتز شیری حاوی ادخال های پیریت و مارکاسیت (شکل ۱۰) به بیش از ۲۵۰ میلیگرم در تن (۲ برابر عیار طلا در بافت میکروکریستالین) افزایش یافته است. میزبان رگه مینرالیزه، واحد آتشفسانی پالتوژن با رخساره غالب ایگنمبریتی است که توسط هاله ای از دگرسانی سیلیسی - کربناتی و آرژیلیک احاطه شده است (Mehrnia 2006).

در شکل های ۱۱ و ۱۲، تغییرات بافتی رگچه کوارتز سریسیتی به عنوان واحد مینرالیزه (مس- طلا دار) شاخص در جنوب شرقی اندیس شیخ دره ملاحظه می گردد. عیار طلا در سطح رگه (شکل ۱۱)، کمتر از ۵۰ میلیگرم در تن است اما با افزایش عمق و ظهور واحد کوارتز پیریتی (شکل ۱۲) به ۱۵۰ میلیگرم در تن (۳ برابر عیار طلا در کلسدونی) افزایش می یابد. میزبان رگه مینرالیزه، تراکی آندزیت های منسوب به اوایل نشوژن بوده و دگرسانی آن شامل انواع سریسیت و پروپیلیتیک به همراه رگچه های پراکنده از سیلیس آمورف است (Mehrnia 2006).

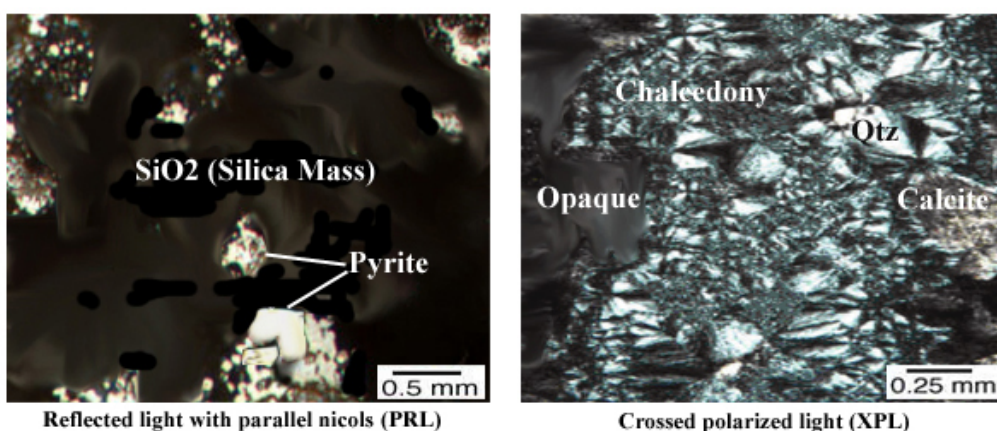
بر اساس ملاحظات فوق، نوسان عیار طلا، تابعی از الگوی ناحیه بندی بافتی در رگه های مینرالیزه غرب شهرستان میانه است. لذا با استناد بر روش مطالعه این تحقیق، از سنجش کمی سیلیس به عنوان شاخص ژئوشیمیائی متناسب با فرایند دگرسانی، برای دستیابی به موقعیت مکانی واحدهای مینرالیزه استفاده شده که با توجه به مطابقت توزیع سیلیس با توابع غیرخطی، احتمال پی جوئی طلا در مطابقت با الگوی ناحیه

احتمال شکل گیری رگه های کوارتز پیریتی (به عنوان میزبان طلا) را در ناحیه مورد نظر کاهش می دهد. لذا پراکنش جزئی سیلیس در سطح فرسایش کنونی و جوان بودن فعالیت های پس مانگماهی در گستره اکتشافی شیخ دره، موید حضور کانی سازی پراکنده با نقص منطقه بندی هیپوژنیک در واحد های دگرسانی آن است.

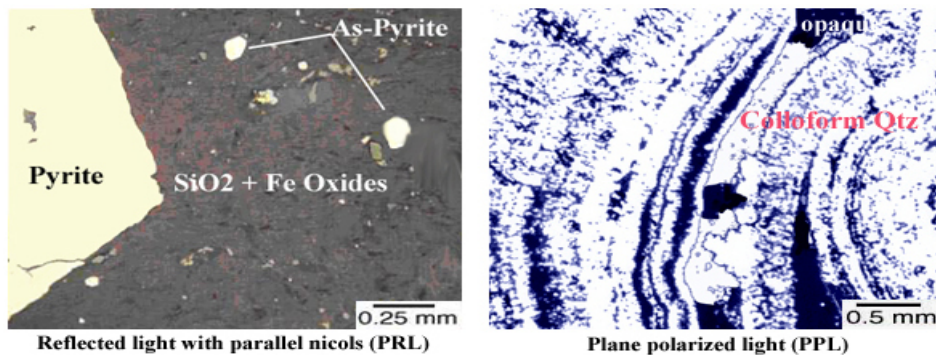
توسط تعداد محدودی از اجزاء خود تشابه (نقاط هم استقامت در شکل ۱۳) شناسائی می گردد. بنابر این تابع چگالی سیلیس قادر تغییرات شاخص در ابعاد فرکتالی است و این نقصان بطور مستقیم روی روند شکل گیری مولفه های متناظر (جدول ۳) موثر بوده است. ضعف الگوی ناحیه بندی بافتی در انديس شیخ دره، ناشی از ساز و کارهای نامناسب در روند تحولات مانگماهی است؛ که در مجموع

جدول ۳: رابطه توزیع فرکتالی سیلیس با تغییر بافت - تغییر عیار طلا در نمونه های بدست آمده از انديس های میانه افزایش مولفه های متتشابه و نظم بوجود آمده در ابعاد فرکتالی سیلیس در دو وضعیت زوجی و تجمعی ، با تغییرات عیار طلا در نسبت مستقیم داشته و بیانگر ناحیه بندی بافتی مناسب در واحد های مینرالیزه سیله کمر و آقورن است

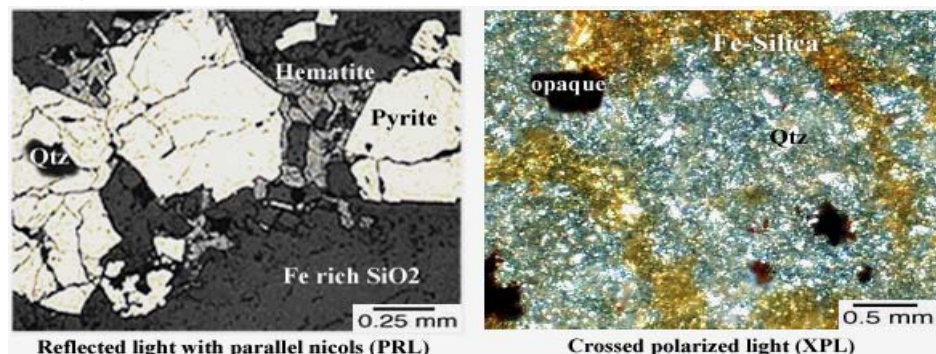
ردیف	نمونه	درصد سیلیس	تغییر بعد فرکتال			ملاحظات بافتی			طلا (ppb)
			کلی	جزئی	توزیع مولفه ها	کوار	آذولار	کلسیت	
۱	۰۰۵-۸۶	۶۷.۲۱	۱.۳۱	۱.۰۱	منفرد - نا-متتشابه	کلسیت	مشاهده نگردید	بلوری- روش	۱۰۰
	۰۰۹-۸۶	۶۷.۲۲		۱.۳۳					۱۵۰
	۰۱۱-۸۶	۶۹.۲۷		۱.۰۷					۱۰۰
	۰۱۲-۸۶	۷۰.۱۳		۲.۱۱					۱۵۰
	۰۱۶-۸۶	۶۸.۳۲		۱.۰۵					۱۵۰
۲	۰۰۳-۸۶	۶۷.۲۱	۱.۹۲	۱.۷۹	زوجی - متتشابه	کلوفوم - فواری	مشاهده نگردید	بلوری- روش	۲۵۰
	۰۱۲-۸۶	۷۴.۶۱		۱.۷۹					۳۰۰
	۰۱۹-۸۷	۶۹.۲۲		۲.۱۱					۳۵۰
	۰۲۲-۸۷	۷۲.۵۹		۲.۱۴					۴۰۰
	۰۴۰-۸۷	۷۶.۳۹		۱.۷۵					۱۵۰
	۰۴۷-۸۷	۷۶.۱۲		۱.۹۵					۲۵۰
	۰۱۳-۸۶	۶۹.۲۵		۲.۲۵					۲۸۵
۳	۰۱۵-۸۶	۸۱.۲۱	۱.۹۸	۲.۲۱	نمی - متتشابه	کلوفوم	بُلوری- متوسط	۰.۵ mm	۴۰۰
	۰۱۹-۸۶	۷۷.۱۵		۱.۹۶					۲۲۰
	۰۲۰-۸۶	۷۳.۸۲		۱.۹۸					۵۰۰
	۰۳۴-۸۷	۷۷.۲۳		۱.۷۱					۵۰۰
	۰۳۵-۸۷	۷۲.۸۸		۱.۶۹					۵۵۰
	۰۳۸-۸۷	۷۸.۰۹		۱.۶۹					۶۵۰
	۰۳۹-۸۷	۷۷.۲۴		۲.۱۵					۷۰۰
	۰۴۳-۸۷	۸۱.۶۹		۲.۱۸					۶۱۰



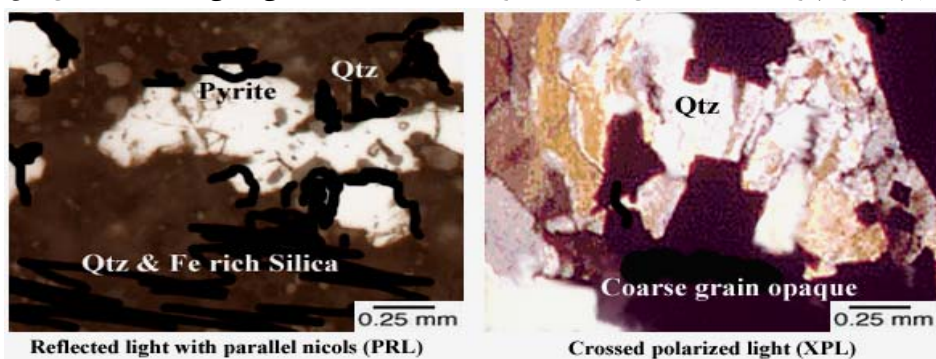
شكل ۷: مقطع میکروسکوپی نمونه مینرالیزه متعلق به انديس آقورن راست: تبلور کوارتز و کلسیت ریز دانه در زمینه سیلیسی - کلسدونیک همراه با کانه های فلزی (اپک) چپ: پیدایش پیریت های ریز دانه حاوی طلا (عیار متوسط ۱۵۰, ppb) در زمینه سیلیسی، شیشه ای با بافت متراکم



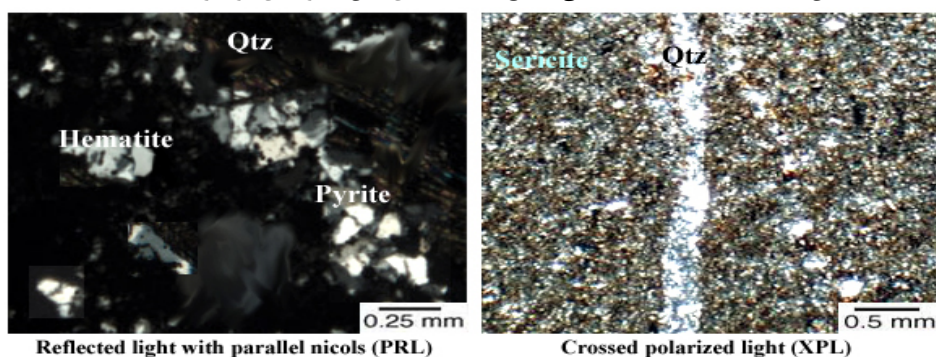
شکل ۸- مقطع میکروسکوپی نمونه مینرالیزه متعلق به اندیس آقورن راست: تبلور کوارتز با بافت قلوه ای شکل (کلوفرم) با درز و شکاف های اشباع از کانه های فلزی (ایک) چپ: ظهور درشت بلورهای پیریت و دانه های آرسنوبیریت حاوی طلا (عیار بیش از ۴۰۰ ppb) در زمینه سیلیسی اشباع از کوارتز



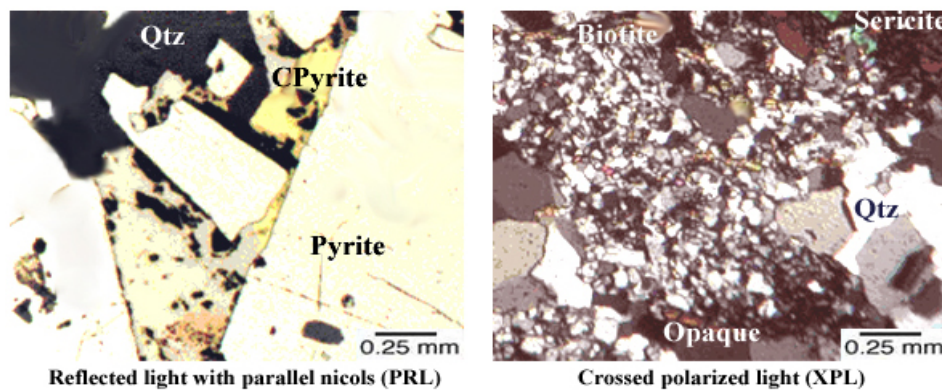
شکل ۹: مقطع میکروسکوپی نمونه مینرالیزه متعلق به اندیس سیله کمر راست: پیدایش رخساره کوارتز کلسدونیک با زمینه سرشار از سیلیس آمورف و اکسیدهای آهن (زاپر) چپ: همبود پیریت و هماتیت حاوی طلا (عیار کمتر از ۱۰۰ ppb) در زمینه سیلیسی، رسی و هیدروکسیدهای آهن



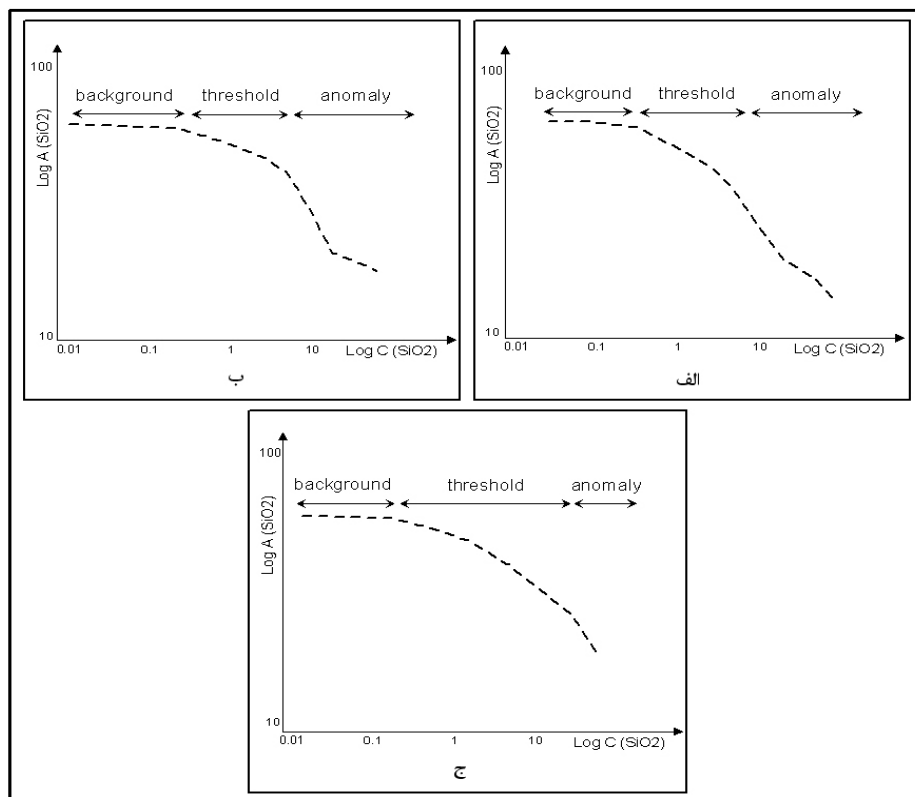
شکل ۱۰: مقطع میکروسکوپی نمونه مینرالیزه متعلق به اندیس سیله کمر راست: پیدایش فنوکربست کوارتز (باز تبلوری) در مجاورت کانه های فلزی (ایک) چپ: پیریت های حاوی طلا (عیار بیش از ۲۵۰ ppb) در زمینه سیلیسی اشباع از اکسیدهای آهن و بلورهای کوارتز



شکل ۱۱- مقطع میکروسکوپی نمونه سیلیسی- مینرالیزه متعلق به اندیس شیخ دره راست: رگه میکروسکوپی حاوی کوارتز در زمینه سریسیتی اشباع از سیلیس (نیمه متبلور)، چپ: کانه زائی پیریت و هماتیت حاوی طلا (عیار کمتر از ۵۰ ppb) در زمینه سیلیس با بافت نیمه متبلور



شکل ۱۲- مقطع میکروسکوپی نمونه سیلیسی- مینرالیزه با میزان تراکی آندزیت در اندیس شیخ دره راست: رخساره کوارتز، سریسیت حاوی فنوکریست های بیوتیت در زمینه سرشار از سیلیس با بافت کریپتوکریستالین چپ: پیدایش همزمان پیریت و کالکوپیریت حاوی طلا (عيار کمتر از ۵۰^{ppb}) در زمینه سریسیتی



شکل ۱۳- مقایسه توابع توزیع فرکتالی سیلیس (مبتنی بر معادله A-C) در مناطق امید بخش چهارگوشه میانه الف: تغییرات سیلیس در مناطق مینرالیزه آقرون با حد زمینه ای محدود ، حدود آستانه و بی هنجاری کاملا توسعه یافته ب: تغییرات سطحی سیلیس در مناطق مینرالیزه سیه کمر با حد آستانه ای محدود و بی هنجاری نسبتا توسعه یافته ج: تغییرات سیلیس در مناطق مینرالیزه شیخ دره با حد آستانه ای توسعه یافته و بی هنجاری بسیار محدود: حد زمینه ای ، Threshold: حد آستانه ای و Background: بی هنجاری سیلیس در سطح پیمایش است)

میانه، مطابق معیارهای بدست آمده از الگوی ناحیه بندی بافتی در ذخایر طلای کوئیتلزند بوده است.

شواهد بدست آمده از مناطق آقرون، سیه کمر و شیخ دره، بیانگر تحولات بافتی متناسب با تغییرات عیار طلا و رابطه مکانی آن با ظهور رخساره کوارتزکلوفرمی است. لذا ضمن نمونه برداری سیستماتیک و درون یابی داده ها با روش های آماری، تابع چگالی تغییرات سیلیس

نتیجه گیری و پیشنهادات

در این تحقیق با استفاده از رهیافت توزیع پذیری غیرخطی سیلیس و تعیین مولفه های تکرار پذیر (recursiv) در روند تغییرات بافتی رگه های مینرالیزه، روشی نوینی برای محاسبه همبستگی عناصر تیپومرفیک با تغییرات بعد فرکتال ارائه گردیده که نتیجه آن تعیین اولویت اکتشافی اندیس های طلدار واقع در چهارگوشه ۱/۵۰۰۰

رگه های کوارتز کلوفرمی با استناد بر الگوی توزیع غیرخطی سیلیس توجیه می گردد.

- در اندیس شیخ دره، کانه زائی کالکوپیریت، کالکوسیت و پیریت به همراه دگرسانی وسیع سریسیتی، پیدایش هاله پروپیلیتیک (رخساره اپیدوت-کلریتی) و تعداد محدودی از رگچه های سیلیسی (کلسدونی) در سنگ میزان تراکی آندزیتی مشاهده می گردند. الگوی ناحیه بندی بافتی رگه ها ضعیف تر از مناطق آقرن و سیه کمر بوده و کاهش قابل توجه اجزاء متناظر (خاصیت خود تشابهی در توزیع فرکتالی سیلیس - جدول ۳) مovid عدم حضور رخساره کوارتز پیریتی و فقدان شرایط لازم برای تشکیل بافت کلوفرمی به عنوان میزان طلا در ذخایر اپی ترمال است. طبق شواهد زمین شناسی، واحد مینرالیزه شیخ دره محدود به حاشیه دگرسانی کوارتز سریسیتی بوده و پائین بودن عیار طلا در رگه کلسدونی (۱۰۰ میلیگرم در تن)، احتمال غنی شدگی اولیه (هیپوژنیک) فلزات گرانبهای را در عمق مناطق دگرسانی کاهش می دهد.

بدین ترتیب، اولویت اکتشاف طلا در اندیس های چهار گوشه میانه با در نظر گرفتن تغییرات بعد فرکتال، کثرت مولفه های خودتشابه مطابقت توزیع سیلیس با تغییرات بافتی رخمنون های مینرالیزه به ترتیب با نواحی آقرن و سیه کمر بوده و اندیس شیخ دره فاقد شرایط بافتی مناسب برای پی جوئی طلا در عمق واحدهای دگرسانی است.

برخلاف تغییرات بافتی مشاهده شده در واحدهای مینرالیزه آقرن و سیه کمر، الگوی ناحیه بندی ذخایر کوئینزلند، با پیدایش آمتیست در رگه کلسدونی آغاز و با ظهور آدولاریا (با بافت خزهای) در رخساره کوارتز کلوفرمی ادامه می یابد. اگرچه تاکنون همبستگی طلا با رگه حاوی آمتیست به اثبات نرسیده، اما با مشاهده آدولاریا، احتمال تجمع طلا، نفره و آنتیمون با توجه به سازوکار حرارتی حاکم بر ناحیه جوشش سیال اپی ترمال افزایش یافته و الگوی بافتی منجر به تشکیل ذخیره طلا بهبود می یابد. براین اساس، حفر چاهک های اکتشافی و مطالعه نمونه های پتروگرافی با هدف تشخیص موقعیت رخساره آدولاریائی و مطابقت آن با روند تحولات بافتی کوارتز، همزمان با سنجش کمی عیار طلا (به روش ICP-Mass) در نمونه های کوارتز پیریتی آقرن و سیه کمر به ترتیب اولویت پیش بینی با روش های ژئوفرکتالی توصیه می گردد.

در سطح پیمایش واحدهای دگرسانی محاسبه و پس از تبدیل پارامترهای توزیع به معادله خط A-C، تغییرات بعد فرکتال به عنوان شاخص نمائی مرتبط با مولفه های خودتشابه استنتاج گردیده است.

بدین ترتیب با استناد بر همبستگی معنی دار مولفه های تکرارپذیر با روند تحولات بافتی در نمونه های مینرالیزه (جدول ۳)، روش مناسی برای تعیین اولویت اکتشافی طلا در سامانه اپی ترمال غرب شهرستان میانه ارائه شده که پس از درج ملاحظات زمین شناسی و تحلیل اطلاعات مکانی، نتایج زیر استنباط می گردد:

- در اندیس آقرن، هاله دگرسانی دارای ارتباط مکانی نزدیک با میزان ریوداسیتی بوده و متشكل از رگه های سیلیسی با ترکیب کوارتز هماتیت (ژاسپیرود)، کوارتز پیریت و کوارتز سریسیت است؛ که به همراه رس های مونتموریلونیتی (آرژیلیک متوسط) در سری کانیائی منسوب به هاله پروپیلیتیک (اپیدوت، کلریت و کلسیت) جای گرفته اند. از دیدگاه ژئوفرکتالی، افزایش عیار طلا (۵۰۰ میلیگرم در تن)، با توالی مولفه های خود تشابه و تغییرات ضریب خط معادله A-C در ارتباط بوده و فرآیند توزیع ژئوشیمیائی سیلیس، منطبق بر تحولات بافتی منجر به تجمعات کانساری است. از این رو، وفور کلسدونی در واحد مینرالیزه فوقانی (سطح پیمایش) و تغییرات تدریجی آن به کوارتز کلوفرمی در نمونه های بدست آمده از رگه های تحتانی (ترانشه اکتشافی)، بیانگر مشابهت بافتی اندیس آقرن با الگوی ناحیه بندی مترتب بر ذخایر اپی ترمال است.

- در اندیس سیه کمر، مناطق دگرسانی از وسعت کمتری برخوردar بوده و شامل رگچه های پراکنده سیلیسی (کلسدونی) در هاله ای از کانی های رسی (کائولینیت تا مونتموریلونیت) و اپیدوت است. از دیدگاه فرکتالی، الگوی بافتی رگه مینرالیزه با حضور تعداد محدودی از مولفه های متناظر (زوجی متشابه و جمعی متشابه در جدول ۳) در ارتباط بوده که طی گذار از تحولات بافت کلسدونی (کریپتوکریستالین) به انواع ریزدانه (میکروکریستالین) و متبلور (کریستالین)، احتمال پیدایش بافت میزان، توسط تغییرات ضریب زاویه معادله A-C قابل بررسی خواهد بود. در مقایسه با اندیس آقرن، الگوی ناحیه بندی بافتی سیه کمر، مشخص به اجزاء متناظر کمتر و همبستگی ضعیف مولفه های هم بعد (متجانس) در جوامع فرکتال است. لذا با توجه به میانگین تغییرات عیار طلا (۳۰۰ میلیگرم در تن)، احتمال دستیابی به مناطق امید بخش در عمق رخمنون های دگرسانی کاهش یافته و محدودیت

منابع:

مهرنیا س. ر. ۱۳۸۶ : بازنگری در الگوی تغییرات بافتی اندیس تکمه داش با هدف پی جوئی طلا در عمق رخساره های دگرسانی، چهاردهمین همایش بلور شناسی و کانی شناسی ایران ، دانشگاه بیرجند، ۳۱۱-۳۱۷ .

مهرنیا س. ر. ۱۳۸۳ : نحوه پیدایش طلا و ترکیبات وابسته به آن در ماقماتیسم سنوزوئیک چهارگوشه میانه (استان آذربایجان شرقی)، پایان نامه دوره دکترای تخصصی ، دانشگاه شهید بهشتی، دانشکده علوم زمین ، ۲۰۰ .

Aleaster M., 2001: Aghvaran license Report relevant to Mianeh target area in Eastern Azerbaijan province of Iran, Submitted to Karand Co. ltd.: 40.

Guoyi D. 2001: Epithermal gold deposit researches Reported In : AMIRA project, Queensland : 245.

Hedenquist J. W., Arribas A., Izawa E., White N.C. 1995: Epithermal gold deposits, Styles, characteristics and exploration. *Society of Resource Geology*, Special Publication 1, 2 sheet poster : 70.

Lescuyer J. 1978: Petrology & petrography of Cenozoic volcanism in Mianeh area, Ph.D. Thesis Subject, University of Paris (Sub. to GSI , French).

Mandelbrot B. 2005: The Fractal Geometry of Nature, 21st Updated Edition, W.H Freeman & Company, New York: 468.

Mehrnia S. R.2006: Using fractal filtering technique for processing ETM data as main criteria for evaluating of Au-indexes In: north-west of Iran, submitted to: 13th Australian Remote Sensing & Photogrammetry Conference, Canberra, Australia, CD-ROM available.

Morrison G., Guoyi D. 2002: Textural Zoning in Epithermal Quartz veins, J.C Univ., Queensland.

Turcotte D. L. 1997: Fractals in geology and geophysics, Cambridge Univ. press, New York.